

УДК 535.343.2; 535 : 548

© 1990

ЧЕРЕНКОВСКОЕ ИЗЛУЧЕНИЕ ПРИ СУБСВЕТОВЫХ СКОРОСТЯХ

Л. А. Коваленко, К. Б. Толыго

На основе микроскопической теории черенковского излучения [1, 2] рассмотрена генерация светозакситонов полем электрона, скорость которого меньше скорости света в среде. Рождаемые при малых скоростях светозакситоны по своим характеристикам ближе к так называемым «механическим» или «кулоновским» акситонам [3, 4] и их электромагнитная составляющая представляет собой лишь небольшую часть полной энергии. Однако эти светозакситоны, рассеиваясь на колебаниях решетки, с определенной вероятностью попадают в область малых волновых векторов $k \ll 1/a$ и, преодолевая за счет теплового движения небольшой барьер (в случае отрицательной эффективной массы «обычного» акситона), переходят на почти прямолинейный участок закона дисперсии $\omega \approx ck/\sqrt{\epsilon_\infty}$, а затем высвечиваются с частотой в пределах от нуля до некоторого ω_{\max} . Расчеты интенсивности излучения для разных скоростей и ветвей светозакситонов проведены применительно к параметрам кристаллического Ne .

В макроскопической теории черенковского излучения [5, 6] распределение излучения по частотам выражается через диэлектрическую проницаемость $\epsilon(\omega, \mathbf{k})$, учитывается, в частности, временная и пространственная дисперсии (в области малых $k \ll 1/a$). При этом излучение возникает лишь при сверхсветовых скоростях электрона $v > u = c/\sqrt{\epsilon(\omega, \mathbf{k})}$.

Для получения интенсивности излучения нужно знать зависимость ϵ от частоты и волнового вектора \mathbf{k} . Часто используемые разложения ϵ и ϵ^{-1} по степеням \mathbf{k} оказываются не всегда возможными именно в окрестности акситонного резонанса, как это, в частности, показал Пекар [7].

В микроскопической теории распространения света в кристалле [1] черенковское излучение выступает как процесс рождения светозакситонов [3, 4] полем движущегося электрона [2]. При этом должно выполняться условие двойного резонанса по частоте и волновому вектору. Если $\omega(\mathbf{k})$ — закон дисперсии для светозакситона, а частоты Фурье-разложения поля электрона, движущегося прямолинейно и равномерно со скоростью v , равны $k v$, то возникает уравнение

$$\omega(k) = kv \cos \theta, \quad (1)$$

где θ — угол между \mathbf{k} и \mathbf{v} .

На рис. 1 изображены две кривые дисперсии для светозакситонов, когда эффективная масса «обычного акситона» положительна или отрицательна. Существенно, что в области больших $k \sim 1/a$ светозакситонные частоты оказываются ограниченными (скажем, частотами возбуждения атомов ω_a) и поэтому равенство (1) за счет больших k может быть выполнено даже при $v \ll c/\sqrt{\epsilon_\infty}$.

Разумеется, рожденный таким образом светозакситон весьма далек от света в обычном смысле слова. Большая часть его энергии не электромагнитной природы, а представляет просто энергию возбуждения атомной системы. Такой светозакситон практически не может выйти из кристалла: вследствие выполнения условия Декарта $\sin \alpha / \sin \beta = 1/\sqrt{\epsilon_\infty}$ при $n \gg 1$ он почти всегда испытывает полное внутреннее отражение на границе.

Однако вследствие рассеяния на фоновых волновой вектор \mathbf{k} может после ряда соударений уменьшиться до величины, сравнимой с волновым вектором света той же частоты в вакууме.

Этот процесс схематически изображен на рис. 1 волнистой линией со стрелкой. Попадая в область почти прямолинейного участка закона дисперсии, где $k \approx \omega \sqrt{\epsilon_\infty} / c$, такие светоэкситоны уже могут выходить из кристалла в широкой области углов падения α .

Это выглядит как эффект Черенкова с той разницей, что отсутствует соотношение для угла $\cos \theta = 1/\beta n$, где $\beta = v/c$. В [2] это интерпретировалось как рождение экситона быстрыми электронами. Интенсивность излучения будет больше в случае положительных эффективных масс обычного экситона (кривая 1), когда экситон «скатывается», испуская фононы, в область перегиба кривой дисперсии. В случае $m^* < 0$ (кривая 2) рассеяние должно идти с поглощением фононов и вероятность излучения будет уменьшаться пропорционально $\exp(-\Delta E/kT)$, где ΔE — разность энергий между точкой B рождения экситона и точкой A максимума $\omega(\mathbf{k})$.

Ниже будут приведены результаты расчетов зависимости интенсивности излучения от скорости электрона для различных ветвей экситона и направлений \mathbf{v} применительно к параметрам кристаллического неона.

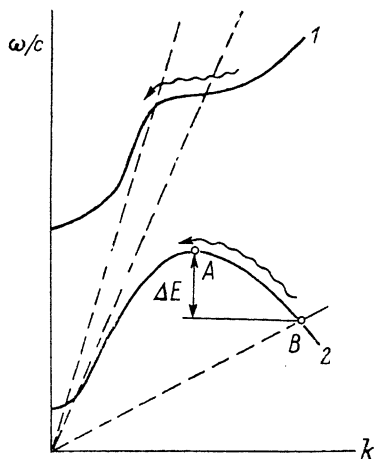


Рис. 1. Дисперсионные кривые светоэкситонов.

Штриховые кривые — закон дисперсии внешнего поля для различных значений v и θ .

1. Закон дисперсии светоэкситонов в области малых и средних \mathbf{k}

Рассматривая распространение света как самосогласованный процесс поляризации каждого атома полем, порожденным всеми прочими атомами [2] приходим к системе уравнений для дипольных моментов всех атомов \mathbf{P}_s^l (l — номер ячейки, s — номер атома в ячейке)

$$\mathbf{P}_s^l = \alpha_s(\omega) \mathbf{E}_s^l, \quad (1)$$

$$E_{s\alpha}^l = \frac{1}{a^3} \sum_{s'\beta} \varphi_{ss'}^{\alpha\beta}(\mathbf{k}, \omega) P_{s'\beta} e^{i(\mathbf{k} \cdot \mathbf{r}_s^l - \omega t)}, \quad (2)$$

где $P_{s\beta}$ — Фурье-компонента дипольной волны,

$$\mathbf{P}_s^l = \mathbf{P}_s e^{i(\mathbf{k} \cdot \mathbf{r}_s^l - \omega t)}, \quad (3)$$

$\alpha_s(\omega)$ — поляризуемость атома; индексы α, β заменяют координатные значки x, y, z . Тензор $\varphi_{ss'}^{\alpha\beta}(\mathbf{k}, \omega)$ определяется только структурой кристалла. Он был рассчитан в работе [8] для решетки типа NaCl. Для простой гранецентрированной решетки Ne нужно оставить только один индекс $s=s'=1$.

В области $ka \ll 1$, воспользовавшись разложением $\varphi_{ss'}^{\alpha\beta}(\mathbf{k}, \omega)$ [2], из (2) получаем

$$1 - \frac{2\pi}{3} A(\omega) - 2\pi A(\omega) \frac{\omega^2}{c^2 k^2 - \omega^2} = B_{\pm} k^2 a^2, \quad (4)$$

где $B_{\pm} = (3/2\pi)(a_{ss'}^{(1)} + \sigma_{\pm} a_{ss'}^{(3)})$, $a_{ss'}^{(i)}$ — коэффициенты квадратичного разложения величины $\varphi_{ss'}^{\alpha\beta}(\mathbf{k}, \omega)$ (без учета запаздывания),

$$\sigma_{\pm} = \frac{1}{2} \left[1 - \sum_{\alpha} s_{\alpha}^4 \pm \sqrt{\left(1 - \sum_{\alpha} s_{\alpha}^4 \right)^2 - 12 s_x^2 s_y^2 s_z^2} \right],$$

$s = \mathbf{k}/k$, a — половина ребра куба. Величина $A(\omega) = \alpha(\omega)/a^3$ в окрестности дисперсионной частоты ω'_i может быть представлена как

$$A(\omega) \approx \frac{3}{2\pi} \left(1 + a_i \frac{\omega - \omega'_i}{\omega'_i} \right), \quad a_i = \left. \frac{d \ln A(\omega)}{d \ln \omega} \right|_{\omega'_i}, \quad (5)$$

ω'_i отличается от частоты возбуждения атома на i -й уровень вследствие наличия лорентцева поля.

В области малых $k \sim \omega'_i/c$ и $\omega < \omega'_i$ решение (4) в пренебрежении правой частью есть

$$\omega = \frac{ck}{n}, \quad n^2 = \frac{1 + (4\pi/3) A(\omega)}{1 - (2\pi/3) A(\omega)}. \quad (6)$$

В окрестности дисперсионной частоты ω'_i такое пренебрежение уже незаконно, но можно использовать приближение (5), и тогда

$$\omega_{\pm}(k) \approx \omega'_i \left[1 - \frac{1}{a_i} \left(B_{\pm} k^2 a^2 + 3 \frac{\omega_{\pm}^2(k)}{c^2 k^2} \right) \right]. \quad (7)$$

Соответствующие значения \mathbf{k} будем называть «средними»: разложение $\varphi_{s\alpha}^{\alpha\beta}(\mathbf{k}, \omega)$ до квадратичных членов еще возможно, ω близко к ω'_i и слагаемые в круглых скобках (7) сравнимы.

2. Работа внешнего поля над системой дипольных моментов и интенсивность излучения фотоэкситонов

Аналогично [2] находим поперечную часть напряженности электрического поля, создаваемого электроном, движущимся со скоростью \mathbf{v}

$$E_{\text{ext}}^{\perp} = -\frac{ie}{2\pi^2} \int d\mathbf{k} \frac{\beta^2 \mathbf{v} \cdot \mathbf{s} [\mathbf{s}(\mathbf{v} \cdot \mathbf{s}) - \mathbf{v}]}{k [1 - \beta^2 (\mathbf{v} \cdot \mathbf{s})^2]} \exp [i(\mathbf{k} \cdot \mathbf{r} - \mathbf{k} \cdot \mathbf{v}t)], \quad \mathbf{v} = \mathbf{v}/v. \quad (8)$$

Соотношение между Фурье-компонентами поляризации \mathbf{P}_s (3) и напряженностью электрического поля (2) при наличии еще и внешнего поля (8) с частотами $\mathbf{k} \cdot \mathbf{v}$ будет иметь вид

$$\frac{P_{s\alpha}}{\alpha_s} = \frac{1}{a^3} \sum_{\alpha} \varphi_{s\alpha}^{\alpha\beta} P_{s'\beta} - \frac{ie}{2\pi^2} \frac{|\beta^2 \mathbf{v} \cdot \mathbf{s} [\mathbf{s}_\alpha \mathbf{v} \cdot \mathbf{s} - \mathbf{v}_\alpha]}{k [1 - \beta^2 (\mathbf{v} \cdot \mathbf{s})^2]}. \quad (9)$$

Первые слагаемые правой части — внутреннее поле всех прочих диполей, а второе — внешнее. В результате использования разложения $\varphi_{s\alpha}^{\alpha\beta}(\mathbf{k}, \omega)$ и выражения (5) получим для Фурье-амплитуд \mathbf{P}_s формулу

$$P_{s\alpha} = E_{\text{ext}, \alpha}^{\perp}(\mathbf{k}) \left[\frac{2\pi}{3} \alpha_i \frac{\omega - \omega'_i}{\omega'_i} + \frac{2\pi\omega^2}{c^2 k^2 - \omega^2} + B_{\pm} k^2 a^2 \right]^{-1}, \quad (10)$$

где $E_{\text{ext}, \alpha}^{\perp}(\mathbf{k})$ — Фурье-компонента выражения (8), $\omega = \mathbf{k} \cdot \mathbf{v}$. Выражение в квадратных скобках (10) обращается в нуль, если $\omega = \mathbf{k} \cdot \mathbf{v}$ заменить собственной частотой фотоэкситона $\omega(\mathbf{k})$, которая определяется в интересующей нас области формулой (7). Вычитаем из выражения в скобках (10) аналогичное ему с заменой $\omega = \mathbf{k} \cdot \mathbf{v}$ на $\omega(\mathbf{k})$. Собираем все компоненты Фурье и вычитаем из каждого члена решение однородного уравнения (с тем, чтобы полученное решение обращалось в нуль при $t=0$). В результате имеем

$$P_{i\pm}^i = \frac{a^3}{2\pi} \int d\mathbf{k} \frac{A_i E_{\pm} D(\mathbf{k}, \omega_{\pm})}{(\omega_{\pm} - \mathbf{k} \cdot \mathbf{v}) A} \left(\exp [i(\mathbf{k} \cdot \mathbf{r}_i^i - \mathbf{k} \cdot \mathbf{v}t)] - \exp [i(\mathbf{k} \cdot \mathbf{r}_i^i - \omega_{\pm} t)] \right),$$

$$D(\mathbf{k}, \omega) = \left\{ \frac{1}{3\omega'_i} + \frac{\omega + \mathbf{k} \cdot \mathbf{v}}{[1 - \beta^2 (\mathbf{v} \cdot \mathbf{s})^2] [c^2 k^2 - \omega^2]} \right\}^{-1}, \quad (11)$$

E_{\pm} — составляющие вектора $E_{\text{ext}}^{\pm}(k)$ по направлениям поляризации двух светоэкситонных ветвей, соответствующих корням σ_+ и σ_- .

Зная все P_{\pm}^i , находим работу внешнего поля над всеми диполями за единицу времени и, как в [2], преобразуем ее к виду

$$W_{\pm} = \frac{e^2 \beta^4}{2\pi^2} \int dk \frac{D(k, \omega_{\pm}) (\nu \cdot s)^2 (\nu \cdot e_{\pm})^2 \omega_{\pm} \sin(\omega_{\pm} t - k \cdot \nu t)}{k^2 [1 - \beta^2 (\nu \cdot s)^2]^2 \omega_{\pm} - k \cdot \nu}, \quad (12)$$

здесь e_{\pm} — орты E_{\pm} . Отношение $[\sin(\omega - k \cdot \nu) t] / \pi(\omega - k \cdot \nu)$ для всех $t \gg 1/\omega$ приблизительно пропорционально δ -функции, что позволяет в (12) проинтегрировать по k . Полярные углы θ, φ остаются пока свободными аргументами, и подынтегральное выражение (12) представляет собой распределение по углам излучения в резонансе $k = k^0$, где k^0 определяется уравнением, получаемым из (7), (1)

$$\frac{a^2}{a_i} B_{\pm} \omega'_i (k_{\pm}^0)^2 + \nu k_{\pm}^0 \cos \theta - \omega'_i \left(1 - \frac{3}{a_i} \beta^2 \cos^2 \theta\right) = 0. \quad (13)$$

Вследствие сильного рассеяния светоэкситонов в области «средних» k (а следовательно, и k^0) это угловое распределение в эксперименте наблюдаться не будет. Поэтому представляет интерес только интегральное излучение

$$W_{\pm} = - \frac{e^2 \beta^4}{2\pi} \int d\Omega \frac{(\nu \cdot s)^2 (\nu \cdot e_{\pm})^2 \omega_{\pm} (k_{\pm}^0) D(k_{\pm}^0, \omega_{\pm})}{[1 - \beta^2 (\nu \cdot s)^2]^2 \left[\frac{d\omega}{dk} \Big|_{k_{\pm}^0} - \nu \nu \cdot s \right]}. \quad (14)$$

3. Численные результаты для кристаллического неона и их обсуждение

Для вычисления интеграла (14) необходимо знать величины a_i и ω'_i и задаться определенными направлениями скорости ν относительно кристаллографических осей. Они были выбраны как [001], [110], [111]. Предполагалось, что в дисперсионной формуле для $A(\omega)$ доминирует первая резонансная частота ω_1 , равная, по данным [9], 0.682 ат. ед.

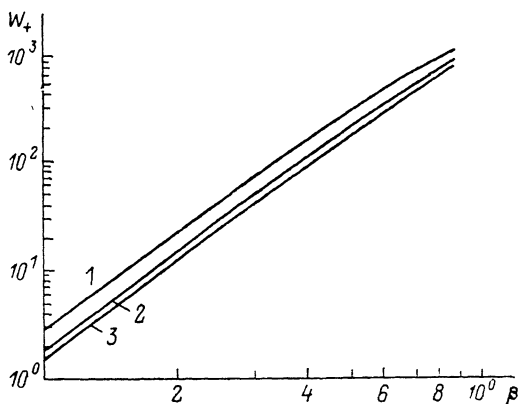


Рис. 2. Зависимость интенсивности излучения от скорости электрона.

При $\omega \rightarrow 0$ $A(0) \approx 3(\epsilon_{\infty} - 1)/2\pi(\epsilon_{\infty} + 2)$, а при $\omega \rightarrow \omega'_1$ $A(\omega'_1) \approx 3/2\pi$. Отсюда были найдены $a_1 = 26.9$, $\omega'_1 = 0.658$ ат. ед. После этого интегрирование по углам в (14) выполнялось численно и находилась интенсивность излучения для каждого из направлений поляризации.

На рис. 2 изображены кривые $W_+(\beta)$ в двойном логарифмическом масштабе для трех указанных выше направлений скорости. Зависимости $W_-(\beta)$ в случаях 1, 2, 3 близки к кривым 3, 2, 1 для $W_+(\beta)$. Почти прямолинейный ход кривых свидетельствует о приблизительно степенной зависимости $W(\beta) \sim \beta^{2.5}$.

Что же будет наблюдаться на опыте? Его следует ставить при $v < c/\sqrt{\epsilon_\infty}$, когда «обычное» черенковское излучение отсутствует.

Непосредственно рожденные электронами фотоэкситоны испытывают многократное рассеяние и подходят к поверхности практически изотропно распределенными. Те из них, которые обладают частотами, близкими к плато на законе дисперсии (рис. 1), и большими показателями преломления, будут преимущественно «расходиться веером» при выходе в вакуум. Те же, которые уже преодолели изгиб в окрестности точки А, могут выходить и под малыми углами. Они практически уже не будут рассеиваться и «спускаться» вниз по кривой $\omega(k)$. Следовательно, спектр излучения будет обрезан и сверху, и снизу в небольшой окрестности плато. Каждая ветвь фотоэкситонов будет давать излучение соответствующей частоты ω'_i . При этом более интенсивным и менее температурозависимым будет излучение для экситона с положительной эффективной массой.

Теоретический нижний предел для скоростей электронов получится, если подставить в формулу (1) максимальное значение волнового вектора $k \approx 10^8 \text{ см}^{-1}$. При выбранном нами $\omega \approx 0.7$ ат. ед. и $\cos \theta = 1$ это дает $v_{\min} \approx 3 \cdot 10^8 \text{ см/с}$, т. е. $\beta \approx 0.01$ (вместо $1/n$). Это почти на 2 порядка меньше скорости, когда наблюдается обычное черенковское излучение, что облегчает постановку эксперимента (электронная энергия $\sim 1 \text{ кэВ}$). К сожалению, из-за резкого убывания интенсивности излучения с уменьшением β (рис. 2) вряд ли удалось бы наблюдать теоретический порог излучения.

Список литературы

- [1] Толпыго К. Б. // УФЖ. 1986. Т. 31. № 2. С. 178—187.
- [2] Толпыго К. Б. // УФЖ. 1987. Т. 32. № 8. С. 1190—1198.
- [3] Пекар С. И. Кристаллооптика и добавочные световые волны. Киев, 1982. 296 с.
- [4] Агранович В. М., Гинзбург В. Л. Кристаллооптика с учетом пространственной дисперсии и теория экситонов. М., 1979. 432 с.
- [5] Тамм И. Е., Франк И. М. // ДАН СССР. 1937. Т. 14. С. 107—112.
- [6] Басс Ф. Г., Яковенко В. М. // УФН. 1965. Т. 86. № 2. С. 189—230.
- [7] Пекар С. И. // ФТТ. 1962. Т. 4. № 5. С. 1301—1311.
- [8] Толпыго К. Б., Заславская И. Г. // УФЖ. 1956. Т. 1. № 3. С. 226—244.
- [9] Братцев В. Ф. Таблицы атомных волновых функций / Под ред. М. Г. Веселова. М.; Л., 1966. 192 с.

Донецкий физико-технический институт
АН УССР

Поступило в Редакцию
1 декабря 1989 г.
В окончательной редакции
26 апреля 1990 г.